

ՀՀ ԿՐԹՈՒԹՅԱՆ ԵՎ ԳԻՏՈՒԹՅԱՆ ՆԱԽԱՐԱՐՈՒԹՅՈՒՆ
ԵՐԵՎԱՆԻ ՊԵՏԱԿԱՆ ՀԱՄԱԼՍԱՐԱՆ

Աբգարյան Գևորգ Կամոյի

ՏԵՐԱՇԵՐՑԱՅԻՆ ՃԱՌԱԳԱՅԹՄԱՆ ԳԵՆԵՐԱՑՈՒՄԸ ՕՊՏԻԿԱԿԱՆ
ԴԻՄԱԿՆԵՐՈՎ ԼՐԱՑՎԱԾ ԼԻԹԻՈՒՄԻ ՆԻՌԱՁ ԲՅՈՒՐԵՂՈՒՄ

Ա.04.03 - Ռադիոֆիզիկա մասնագիտությամբ
ֆիզիկամաթեմատիկական գիտությունների թեկնածովի
գիտական աստիճանի հայցման ատենախոսության
ՍԵՂՄԳԻՐ

Երևան 2016

МИНИСТЕРСТВО ОБРАЗОВАНИЯ И НАУКИ РА
ЕРЕВАНСКИЙ ГОСУДАРСТВЕННЫЙ УНИВЕРСИТЕТ

Абгарян Геворг Камоевич
ГЕНЕРАЦИЯ ТЕРАГЕРЦОВОГО ИЗЛУЧЕНИЯ В КРИСТАЛЛЕ НИОБАТА ЛИТИЯ
ДОПОЛНЕННОМ ОПТИЧЕСКОЙ МАСКОЙ

АВТОРЕФЕРАТ
диссертации на соискание ученой степени кандидата
физико-математических наук по специальности
01.04.03 - „Радиофизика,,

ЕРЕВАН – 2016

Ատենախոսության թեման հաստատվել է Երևանի պետական
համալսարանում:

Գիտական դեկավար՝ Փ.մ.գ.դ., պրոֆեսոր

Յու.Հ. Ավետիսյան

Պաշտոնական ընդունմախոսներ՝ Փ.մ.գ.դ., պրոֆեսոր

Ռ.Բ. Ալավերդյան

Փ.մ.գ.դ., պրոֆեսոր

Է.Դ. Գազազյան

Առաջատար կազմակերպություն՝ ՀՀ ԳԱԱ Ռադիոֆիզիկայի և Էլեկտրոնիկայի
ինստիտուտ

Պաշտպանությունը կայանալու է 2016թ. մայիսի 14-ին ժամը 12:00-ին
Երևանի պետական համալսարանի 049 ֆիզիկայի մասնագիտական խորհրդի
նիստում: Հասցե՝ 0025, Երևան, Ա. Մանուկյան 1:

Ատենախոսությանը կարելի է ծանոթանալ ԵՊՀ գրադարանում:

Սեղմագիրն առաքված է 2016թ. ապրիլի 13-ին:

Մասնագիտական խորհրդի
գիտական քարտուղար՝ Փ.մ.գ.թ., դոցենտ
Վ.Պ. Քալանթարյան

Тема диссертации утверждена в Ереванском государственном
университете.

Научный руководитель: д.ф.м.н., профессор
Ю.О. Аветисян

Официальные оппоненты: д.ф.м.н., профессор
Р.Б. Алaverdyan
д.ф.м.н., профессор
Э.Д. Газазян

Ведущая организация: Институт радиофизики и электроники НАН РА

Защита диссертации состоится 14 мая 2016г. в 12:00 часов,
на заседании специализированного совета 049 по физике Ереванского
государственного университета по адресу: 0025, Ереван, ул. А. Манукяна 1.
С диссертацией можно ознакомиться в библиотеке ЕГУ.

Автореферат разослан 13 апреля 2016г.

Ученый секретарь
специализированного совета:

к.ф.м.н., доцент
В.П. Կալանթարյան

ԱՇԽԱՏԱՆՔԻ ԸՆԴՀԱՆՈՒՐ ԲՆՈՒԹԱԳԻՐԸ

Աշխատանքի արդիականությունը

Էլեկտրամագնիսական ալիքների տերահերցային (ՏՀց) տիրույթի (0.1 – 10 ՏՀց) կիրառման ոլորտները բավական բազմազան են՝ անվտանգության համակարգեր, մոլեկուլյար սպեկտրոսկոպիա, թաքնված առարկաների տեսապատկերների ստացում, հիվանդությունների ախտորոշում և այլն [1]: Սակայն ներկայում առկա ՏՀց գեներատորները դեռևս օժտված չեն լայն դասի կիրառական խնդիրների լուծման համար անհրաժեշտ բնութագրերով (ելքային հզրություն, սպեկտրալ շերտի լայնություն և այլն), իսկ կիրառման համար այտանի աղբյուրները բավական դժվարմատչելի են: Սա խթանում է ՏՀց աղբյուրների զարգացմանը նվիրված հետազոտությունների ակտիվացմանը, և կոմպակտ, արդյունավետ նոր աղբյուրների ստեղծմանը:

Վերջին տասնամյակներում մշակվել են ՏՀց ճառագայթման գեներացման մի շարք օպտիկական մեթոդներ [2], որոնք պայմանավորված են լազերային տեխնոլոգիաների բույն զարգացմամբ:

Լայնաշերտ ՏՀց ճառագայթում ստանալու անհրաժեշտության դեպքում հիմնականում օգտագործվում է ֆենտովայրկյանային լազերային իմպուլսի օպտիկական ուղղումը (ՕՈՒ) ոչ գծային բյուրեղում [3]: Այս երևույթը, ըստ էության, տարրերային հաճախության գեներացումն (ՏՀԳ) է օպտիկական իմպուլսի սպեկտրալ բաղադրիչների միջև: ՕՈՒ-ի մեթոդի առավելությունն այն է, որ օգտագործվում է մեկ լազեր, ի տարրերություն ՏՀԳ-ի, որտեղ անհրաժեշտ ունենալ ոչ գծային բյուրեղում կատարյալ ծնով վերադրվող (ըստ ժամանակի և տարածության) երկու լազերային իմպուլսներ:

Օպտիկայից ՏՀց հաճախության փոխակերպման արդյունավետությունը մեծացնելու նպատակով վերջերս առաջարկվել է օգտագործել պարբերական բևեռացված (ոչ գծային ընկալունակության նշանի պարբերական փոփոխմամբ) լիթիումի նիոբաթ (ՊԲԼՆ) բյուրեղը [4]: Սակայն փոխակերպման արդյունավե-

տուփյոնը դեռևս փոքր է, ինչը հիմնականում պայմանավորված է $S\zeta$ տիրույթում ոչ գծային բյուրեղների մեծ կլանմամբ (այսպես օրինակ, լայնորեն տարածված LiNbO_3 բյուրեղի կլանման գործակիցը հաճախությունների $f > 1$ $S\zeta$ տիրույթում՝ $\alpha > 15$ սմ⁻¹): Այս դժվարությունը հաղթահարելու համար առաջարկվել է իրականացնել այնպիսի կոնֆիգուրացիա, որը ՊԲԼ բյուրեղի պարբերության համապատասխան ընտրությամբ կապահովի $S\zeta$ ճառագայթում օպտիկական ալիքների տարածմանն ուղղահայաց ուղղությամբ [5]: Կենտրոնացնելով օպտիկական փունջը բյուրեղի կողային մակերևույթին հնարավորինս մոտ՝ հնարավոր է էապես նվազեցնել $S\zeta$ ճառագայթման կլանումը ոչ գծային բյուրեղում: Այս դեպքում $S\zeta$ ալիքների կլանումը խիստ նվազում է շնորհիվ բյուրեղում անցած կարճ ճանապարհի, որը և նպաստում է $S\zeta$ -ի արդյունավետության աճին:

Առաջարկված տարբերակում օպտիկական փունջի d լայնական չափը պետք է բավարարի $d < \lambda_{\text{THz}} / 2$ պայմանին: Այսպիսի նեղ փունջերի օգտագործումը սահմանափակում է օգտագործվող լազերների թույլատրելի հզորությունը (բյուրեղի օպտիկական քանդման պատճառով) և բյուրեղի երկարությունը (դիֆրակցիոն ցրման պատճառով): Բացի այդ, ՊԲԼ բյուրեղի միջոցով հնարավոր չէ ստանալ հաճախալարքավորվող $S\zeta$ ճառագայթում, քանի որ գեներացման հաճախությունը որոշվում է ՊԲԼ -ի տարածական պարբերությամբ և, հետևաբար, նմուշի պատրաստումից հետո ենթակա չէ փոփոխման:

Սույն աստենախոսության մեջ դիտարկված են գերկարճ օպտիկական իմպուլսների ուղղման միջոցով, տարբեր տիպի օպտիկական դիմակների օգնությամբ նեղշերտ, հաճախալարքավորվող և լայնաշերտ $S\zeta$ ճառագայթում ստանլու նոր մեթոդներ:

Աստենախոսության նպատակը

Աստենախոսության հիմնական նպատակը օպտիկական դիմակների միջոցով ձևավորված ոչ գծային կառուցվածքներում ստացվող նեղշերտ և լայնաշերտ $S\zeta$ ճառագայթման ուսումնասիրությունն է:

Այս նպատակին հասնելու համար առաջադրվել են հետևյալ խնդիրները.

- Հետազոտել ՊԲՀՆ բյուրեղում SՀց ճառագայթման գեներացումը և նրա պարամետրերի (կենտրոնական հաճախություն, ճառագայթման ուղղություն) կախվածությունը գրգռող օպտիկական փնչի անկման անկյունից:
- Կառուցել բինար փուլային դիմակի միջոցով ձևավորվող պարբերական ոչ գծային համակարգերում ՕՌԻ-ի տեսական մոդել:
- Փորձնականորեն հետազոտել տարբեր բինար փուլային դիմակների դեպքում, Ti:Sapphire ֆեմտովայրկյանային լազերի միջոցով գրգռվող, հաճախության լարքավորմամբ ու սպեկտրալ լայնքի փոփոխմամբ SՀց ճառագայթման գեներացումը և գեներացված SՀց ճառագայթման հիմնական պարամետրերը՝ հզորությունը, սպեկտրալ լայնքի փոփոխման և հաճախության լարքավորման տիրույթները: Որոշել օպտիկականից դեպի SՀց էներգիայի արդյունավետ փոխակերպումն ապահովող օպտիմալ պայմանները:
- Փորձնականորեն ստանալ քվազիմոնոքրոմատիկ, մեծ իմպուսային հզորությամբ, լարքավորվող SՀց ճառագայթում՝ որպես մղման աղբյուր օգտագործելով մեծ ինտենսիվությամբ և մեծ լայնական կտրվածք ունեցող փնջերով ֆեմտովայրկյանային Ti:Sapphire լազեր՝ ուժեղարարով:
- Կառուցել աստիճանածն դիմակով համալրված ոչ գծային համակարգերում ՕՌԻ-ի միջոցով լայնաշերտ ՏՀց ճառագայթում ստանալու տեսական մոդել:
- Հետազոտել լայնաշերտ, սպեկտրալ լայնքի դեկավարմամբ իմպուսային SՀց ճառագայթման պարամետրերը, որը գրգռվում է աստիճանածն դիմակով համալրված միադոմեն լիթիումի նիոբաթ ոչ գծային բյուրեղում՝ ֆեմտովայրկյանային լազերային իմպուլսների օպտիկական ուղղման միջոցով:

Գիտական նորույթը

Առաջին անգամ ուսումնասիրվել է ՕՌԻ-ի միջոցով SՀց ալիքների գեներացումը բինար փուլային և աստիճանածն դիմակների միջոցով ձևավորվող վիրտուալ քվազիփոլահամաձայնեցված համակարգերում:

Ի տարբերություն ՊԲՀՆ բյութեղում ՕՌԻ-ի ընդհանուր սխեմայի՝ բինար փուլային դիմակների կիրառման դեպքում վերանում են բյութեղի նյութի, երկրաչափական չափսերի և փոփոխման չենթարկվող տարածական պարբերության հետ կապված սահմանափակումները։ Դա թույլ կտա գեներացնել հաճախալրազավորվող քվազիմոնքրոմատիկ $S\leq g$ ճառագայթում։

Աստիճանածն դիմակների կիրառումը թույլ կտա գեներացնել ժամանակային տեսքի (սպեկտրի) դեկավարմամբ $S\leq g$ իմպուլսային ճառագայթում, որն առանձնապես կարևոր է ժամանակային տիրույթի $S\leq g$ սպեկտրումներում կիրառման համար։

Գործնական արժեքը

1. Բինար փուլային դիմակների կիրառումը հնարավորություն է ընձեռում ստանալ քվազիմոնքրոմատիկ, հաճախալրազավորվող, հզոր $S\leq g$ ճառագայթում։ Այսպիսի $S\leq g$ աղբյուրները կարող են օգտագործվել բազմաթիվ կիրառական ոլորտներում (հեռահաղորդակցություն, անվտանգության համակարգեր, նյութագիտություն և այլն)։
2. Շնորհիվ հաճախային լայն տիրույթում սինթրոնիզմի ապահովման աստիճանածն փուլային դիմակների կիրառման միջոցով հնարավոր է ստանալ լայնաշերտ, ժամանակային տեսքի (սպեկտրի) դեկավարմամբ, հզոր $S\leq g$ ճառագայթում։ Այդպիսի ճառագայթման աղբյուրները կարող են լայնորեն կիրառվել ժամանակային տիրույթի $S\leq g$ սպեկտրոսկոպիայի, կենսաբժշկության, նյութագիտության և այլ ոլորտներում։

Պաշտպանության ներկայացվող հիմնական դրույթները

1. ՊԲՀՆ բյութեղում տերահերցային ճառագայթման ուղղության և հաճախության կառավարում կարելի է իրականացնել ընկնող փնջի անկման անկյան փոփոխությամբ։

- Բինար փուլային դիմակի կիրառմամբ ՕՈՒ եղանակով ոչ գծային բյուրեղներում իրականացվում է քվազիմոնոքրոմատիկ ՏՀց ճառագայթման գեներացում:
- Քվազիմոնոքրոմատիկ ՏՀց ճառագայթման հաճախության լարքավորում հնարավոր է իրականացնել փուլային դիմակի պատկերի խոշորացման փոփոխմամբ:
- Աստիճանաձև դիմակի միջոցով ոչ գծային բյուրեղներում ՕՈՒ եղանակով հնարավոր է գեներացնել լայնաշերտ ՏՀց իմպուլս և կառավարել նրա ժամանակային տեսքը:

Աշխատանքի ներկայացումը

Աստենախոսության հիմնական արդյունքները գեկուցվել են International Conference on “Microwave and THz Technologies and Applications” (Ashtarak, Armenia, 2014), “40th International Conference on Infrared, Millimeter, and Terahertz Waves” (Honk Kong-2015) միջազգային գիտաժողովներում, Երևանի պետական համալսարանի Գերրարծ հաճախությունների ռադիոֆիզիկայի և հեռահաղորդակցության ամբիոնի սեմինարներում, ինչպես նաև ԵՊՀ ուսանողական գիտական ընկերության գիտաժողովներում:

Հրապարակումները

Աստենախոսության հիմնական արդյունքները տպագրվել են 5 գիտական աշխատանքներում, որոնց ցուցակը ներկայացված է սեղմագրի վերջում:

Աստենախոսության կառուցվածքը

Աստենախոսությունը բաղկացած է ներածությունից, երեք գլուխց, եզրակացությունից և 123 անուն պարունակող գրականության ցանկից:

Աշխատանքում կան 33 նկար և 1 առյուսակ: Աշխատանքի ընդիանուր ձավալը 109 էջ է:

ԱՇԽԱՏԱՆՔԻ ԲՈՎԱՆԴԱԿՈՒԹՅՈՒՆԸ

Առաջարանի մեջ հիմնավորված է աշխատանքի արդիականությունը, ձևակերպված են նպատակներն ու խնդիրները, ինչպես նաև պաշտպանության ներկայացվող հիմնական դրույթները: Ներկայացված են աշխատանքի գիտական նորույթը և գործնական արժեքը:

Առաջին գլխում դիտարկված են SՀց ճառագայթման աղբյուրները և դետեկտորները: Ներկայացված է ժամանակային տիրույթի SՀց սպեկտրոմետրը:

1.1 – 1.4 պարագրաֆներում քննարկված են SՀց տիրույթի էլեկտրամագնիսական ալիքների գեներացման հիմնական մեթոդները և այդ մեթոդների առավելություններն ու թերությունները:

Ներկայացված է SՀց իմաստըների գեներացումը ֆոտոհաղորդիչ նյութերի օգնությամբ: Մասնավորապես, քննարկված է SՀց ճառագայթման գեներացումը ֆոտոհաղորդիչ անտենայում, ինչպես նաև SՀց իմաստըների առաքումը կիսահաղորդիչների մակերևույթից ֆեմտովայրկյանային լազերային իմաստըների ներգործության դեպքում:

Պարագրաֆը **1.4-ը** նվիրված է ոչ գծային բյուրեղներում տարրերային հաճախության գեներացման և օպտիկական ուղղման մեթոդներով SՀց ճառագայթման ստացմանը:

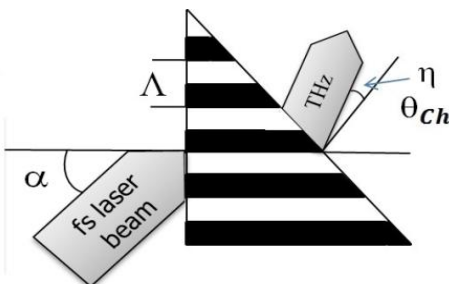
1.5 պարագրաֆում քննարկված են SՀց ճառագայթման դետեկտուման տարրեր եղանակներ: Մանրամասն նկարագրված են ֆոտոհաղորդիչ անտենայով դետեկտորի կառուցվածքը և աշխատանքի սկզբունքը: Այս դետեկտորի միջոցով գրանցվում է SՀց դաշտի տեսքը, ինչը չափազանց կարևոր է ժամանակային տիրույթի տերահերցային սպեկտրոմետրի աշխատանքի համար:

1.6 պարագրաֆում ներկայացված է ժամանակային տիրույթի տերահերցային սպեկտրոմետրի կառուցվածքը և աշխատանքը: Նկարագրված են նյութերի բեկման ցուցիչների և կլանման գործակիցների չափման մեթոդները SՀց լայն հաճախային տիրույթում նշված սպեկտրոմետրի միջոցով: Բերված են թղթի և

պոլիէթիենի նմուշների բեկման ցուցիչների չափումների արդյունքները, որոնք արված են նկարագրված մեթոդով:

Երկրորդ գլուում քննարկված է քվազիմոնոքրոմատիկ $S\zeta$ ճառագայթման գեներացումը պարբերական բևեռացված և միադոմեն լիթիումի նիոբաթ բյուրեղներում:

2.1 պարագրաֆում դիտարկված է հաճախալարքավորվող, քվազիմոնոքրոմատիկ $S\zeta$ ալիքների գեներացումը ՊԲԼ բյուրեղում՝ բյուրեղի վրա ընկնող օպտիկական փնջի անկման անկյան փոփոխման միջոցով (Նկ. 1):

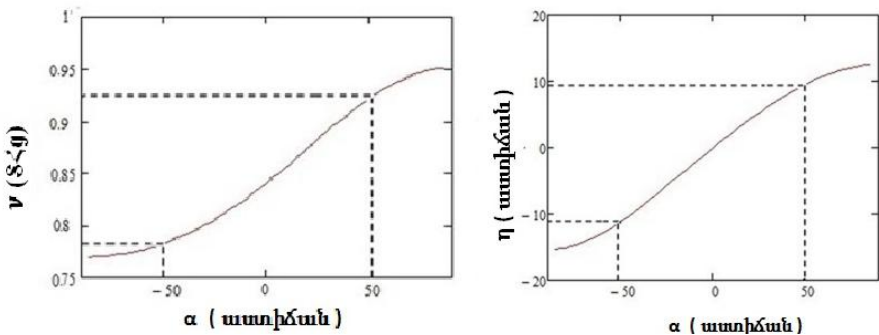


Նկ.1 $S\zeta$ ճառագայթման գեներացման սխեմատիկ պատկերը ՊԲԼ բյուրեղում. Ան և սպիտակ տիրուցները համապատասխանում են բյուրեղի ոչ գծային գործակցի հակադիր նշաններով մասերին, Հ-ն ՊԲԼ բյուրեղի պարբերությունն է, α -ն՝ լազերային ճառագայթման անկման անկյունը, θ_{ch} -ն՝ Չերենկովյան անկյունն է, η -ն՝ Չերենկովյան անկյունից շեղման չափը:

$S\zeta$ ալիքների գեներացման համար նախատեսված $\Lambda = 77$ մկմ տարածական պարբերությամբ ՊԲԼ բյուրեղում փորձնականորեն ստացվել է հաճախային լարքավորմամբ $S\zeta$ ճառագայթում, որի կենտրոնական հաճախությունը փոփոխվում է ~ 0.77 $S\zeta$ մինչև 0.93 $S\zeta$, իսկ ճառագայթման ուղղությունը մոտավորապես -10^0 -ից 10^0 (տես Նկ. 2):

2.2 պարագրաֆում քննարկված է քվազիմոնոքրոմատիկ $S\zeta$ ճառագայթման ստացումը միադոմեն լիթիումի նիոբաթ բյուրեղում $O\Omega I$ եղանակով՝ ստվերային դիմակի միջոցով բյուրեղում ձևավորելով պարբերական ոչ գծային համակարգ:

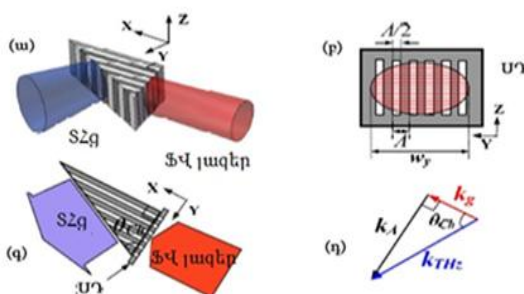
ՊԲԼ բյուրեղի միջոցով քվազիմոնոքրոմատիկ $S\zeta$ ալիքների գեներացման մեթոդն ունի որոշակի թերություններ: Նախ, ՊԲԼ -ի երկրաչափական չափսերը սահմանափակ են վերջինիս պատրաստման բարդությունների պատճառով:



Նկ. 2 S₂g ճառագայթման հաճախության և S₂g ճառագայթման դիման անկյան (տես Նկ. 1) կախվածությունը օպտիկական փնջի անկման α անկյունից:

Այս հանգամանքը սահմանափակում է լայն բացվածքով փնջերի օգտագործման հնարավորությունը և հետևաբար $\Delta\omega$ -ի մինիմալ հասանելի արժեքը: Բացի այդ, η_{FB} բյուրեղի միջոցով հնարավոր չէ ստանալ լայն տիրություն հաճախալարքավորվող S₂g ճառագայթում:

Այս խոշընդունելը հայթահարելու համար մշակվել է նոր մեթոդ [6], որտեղ որպես ոչ գծային բյուրեղ օգտագործվում է միադոմեն լիթումի նիորաթ (ԼՆ), իսկ բյուրեղի պարբերական կառուցվածքը իրականացվում է ստվերային դիմակի (ՍԴ) միջոցով: Ստվերային դիմակը (Նկ. 3թ) ամրացվում է ԼՆ բյուրեղի մուտքային ճակատին (Նկ. 3գ), որտեղով բյուրեղը լուսավորվում է ֆեմտովայրկյանային լազերային փնջով:

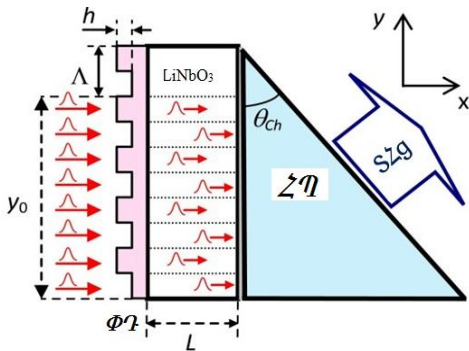


գեներացման սխեման, (աև և սպիտակ տիրությունը բյուրեղի մութ և լուսավորված մասերն են), դ) S₂g ալիքների գեներացման սխեման η_{FB} բյուրեղում, (աև և սպիտակ տիրությունը ներկայացնում են բյուրեղի ոչ գծային գործակցի հակադիր նշաններով մասերը),

Նկ. 3ա) S₂g ալիքների գեներացման սխեման η_{FB} բյուրեղում, (աև և սպիտակ տիրությունը ներկայացնում են բյուրեղի ոչ գծային գործակցի հակադիր նշաններով մասերը), բ) ստվերային դիմակի սխեմատիկ պատկերը, գ) ՍԴ-ով ծածկված միադոմեն ԼՆ բյուրեղում S₂g ալիքների

2.3 պարագրաֆում քննարկված է քվազիմոնոքրոմատիկ $S\text{Lg}$ ճառագայթման ստացումը ՕՌԻ միջոցով՝ փուլային դիմակի ($\Phi\gamma$) կիրառմամբ:

Ստվերային դիմակի կիրառումը թույլ է տալիս ստանալ հաճախալարքավորվող $S\text{Lg}$ ճառագայթում, սակայն ճառագայթմանը մասնակցում են ոչ գծային բյուրեղի միայն լուսավորված տիրույթները, ինչը նվազեցնում է փոխակերպման արդյունավետությունը: Այս խոչընդոտը հաղթահարելու համար մեր կողմից առաջարկվել է ստվերային դիմակը փոխարինել պարբերական փուլային տեղաշարժ իրականացնող դիմակով: Այս դեպքում միադունք ոչ գծային բյուրեղում ձևավորվում է վիրտուալ փուլահամաձայնեցնող կառուցվածք ($\text{Ակ. } 4$):



Ակ. 4 Փուլային դիմակի և համաձայնեցնող պրիզմայի ($\angle\gamma$) կիրառմամբ LiNbO_3 բյուրեղում ՕՌԻ-ի եղանակով $S\text{Lg}$ ճառագայթման գեներացման սխեմատիկ պատկերը:

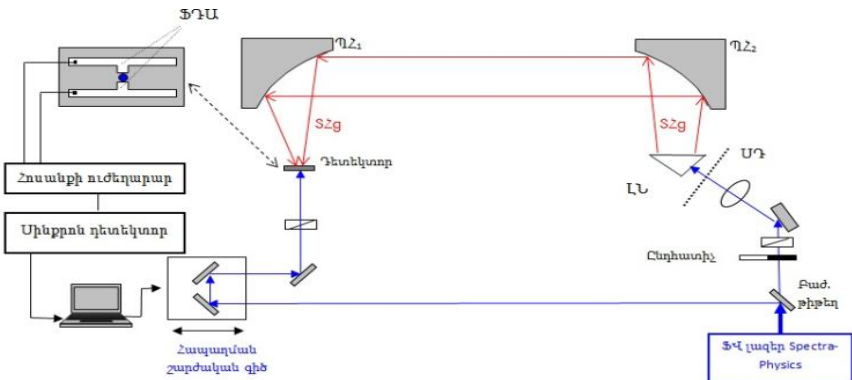
Եթե դիմակի ելուստով անցնելիս օպտիկական իմպուլսների ժամանակային հապաղումը կազմի $S\text{Lg}$ տատանման պարբերության կեսը, ապա ոչ գծային գործակցի փոփոխությունը համարժեք կլինի վերջինիս նշանի փոփոխմանը:

$S\text{Lg}$ ճառագայթման հաճախությունը կորոշվի հետևյալ բանաձևով՝

$$v_{THz} = \frac{c}{\Lambda \sqrt{n_{THz}^2 - n_g^2}} , \quad (1)$$

որտեղ n_g – բյուրեղի բեկման ցուցիչն է օպտիկական տիրույթում, n_{THz} -ը՝ բեկման ցուցիչը $S\text{Lg}$ տիրույթում, c -ն լուսի արագությունն է վակուում, իսկ Λ -ն՝ դիմակի տարածական պարբերությունը:

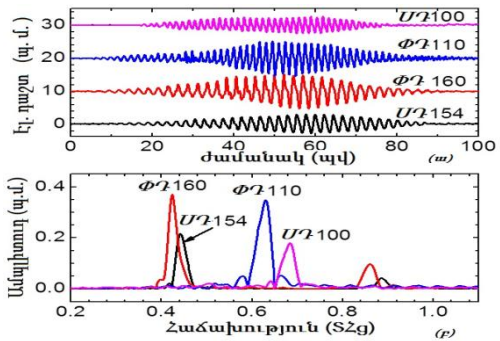
Աշխատանքում ՕՌԻ-ի եղանակով փորձնականորեն իրականացվել է S₂g ճառագայթման գեներացում միադիմեն LiNbO₃ բյութեղում բինար փուլային դիմակների օգնությամբ: Փորձարարական համակարգը ներկայացված է Նկ. 5-ում:



Նկ. 5 Փորձարարական համակարգի սխեմատիկ պատկերը:

Փորձարարական հետազոտություններում օգտագործվել է կվարցի թիթեղից պատրաստված դիմակ, որի ելուատով անցնելիս լազերային իմպուլսի հապաղումը կազմում է $\tau_0 = h(n_0 - 1)/c = 755$ ֆվ, ինչը համապատասխանում է ոչ գծային թևեռացման նշանի փոփոխմանը $f_0 = 1/2\tau_0 = 0.662$ S₂g հաճախության դեպքում: 110 մկմ և 160 մկմ պարբերությամբ փուլային դիմակների կիրառման դեպքում գեներացված S₂g իմպուլսների ժամանակային տեսքերը պատկերված են Նկ. 6 ա-ում, իսկ 6 բ-ում բերված են համապատասխան սպեկտրները: Համեմատության համար ներկայացված են նաև ստվերային դիմակի դեպքում ստացված արդյունքները:

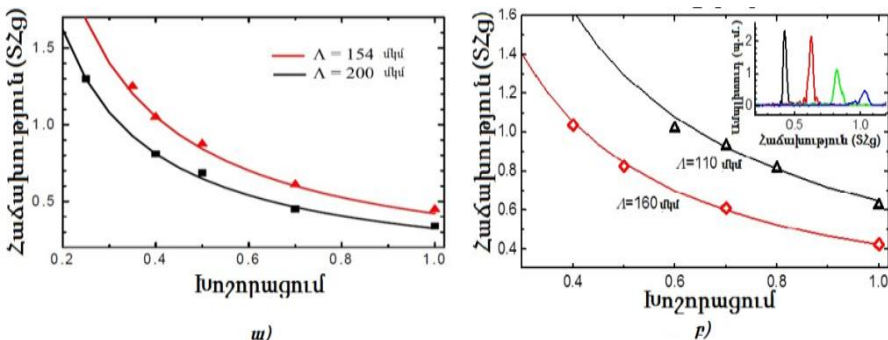
Նկ. 6 բ-ից երևում է, որ 110 մկմ և 160 մկմ պարբերությամբ ՓԴ դեպքում ստացված արդյունքները համապատասխանաբար ~ 1.9 և ~ 1.7 անգամ գերազանցում են ՄԴ-ի դեպքում ստացված արդյունքներին, իսկ գեներացման արդյունավետության մեծացումը լավ համապատասխանում է տեսականորեն սպասվող արդյունքներին:



Նկ. 6 ա. S_g իմպուլսների տեսքները 110 մկմ և 160 մկմ պարբերությամբ փուլային դիմակների և 100 մկմ ու 154 մկմ պարբերությամբ ստվերային դիմակների դեպքում, բ) համապատասխան ֆուրյե սպեկտրները:

Ստվերային և փուլային դիմակների կիրառումը թույլ է

տալիս ստանալ հաճախության լարքավորմամբ և սպեկտրալ լայնքի փոփոխմամբ S_g ճառագայթում: S_g գեներացման հաճախության լարքավորում կարելի է իրականացնել դիմակը տեղավորելով բյուրեղի մուտքային ճակատից հեռու, և ոսպնյակային համակարգի միջոցով բյուրեղում կառուցելով դիմակի պատկերը: Պատկերի խոշորացումը փոփոխելով՝ հնարավոր է փոփոխել բյուրեղում ձևավորված պարբերական ոչ գծային կառուցվածքի պարբերությունը և դրանով իսկ՝ S_g ճառագայթման հաճախությունը: Փորձնական արդյունքները բերված են Նկ. 7-ում: Խոշորացումը 1-ից մինչև 0.4 տիրոպարում փոփոխելու դեպքում գեներացված S_g ճառագայթման հաճախությունը փոխվում է 0.42 – ից մինչև 1 S_g:



Նկ. 7 Գեներացման հաճախությունը ստվերային (ա) և փուլային (բ) դիմակների կիրառմամբ տարբեր խոշորացումների դեպքում: Փուլային դիմակի դեպքում պատկերված են նաև ճառագայթման սպեկտրները տարբեր խոշորացումների դեպքում:

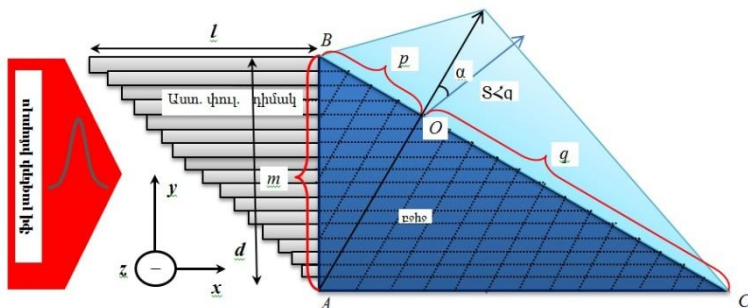
Երրորդ գիշում քննարկված է լայնաշերտ $S\zeta g$ ճառագայթման գեներացումը միաղոմեն լիթիումի նիոբաթ բյուրեղներում:

3.1 պարագրաֆը նվիրված է լայնաշերտ $S\zeta g$ ճառագայթման գեներացմանը ոչ գծային բյուրեղում թեք ամպիլտուտային ճակատով իմպուլսների օպտիկական ուղղման միջոցով:

3.2 պարագրաֆում քննարկված է լայնաշերտ $S\zeta g$ ստացման հնարավորությունը աստիճանածն դիմակի կիրառման միջոցով:

Առաջարկվել է լայնաշերտ $S\zeta g$ ճառագայթում ստանալու համար անհրաժեշտ թեք ամպիլտուտային ճակատով օպտիկական փնջեր ձևավորել՝ օգտագործելով աստիճանածն դիմակ (Նկ. 8):

Այսպիսի դիմակը կապահովի քվազիգծային ժամանակային հապաղում օպտիկական փնջի լայնական կտրվածքում: Ոչ գծային բյուրեղի յուրաքանչյուր շերտ (լազերային փնջի տարածման ուղղությամբ) կճառագայթի $S\zeta g$ իմպուլսներ շերենկովյան անկյան տակ՝ մեկը մյուսի նկատմամբ որոշակի ժամանակային հապաղումով: Հետևաբար, աստիճանածն դիմակի պարամետրերի համապատասխան ընտրությամբ հնարավոր է ստանալ մի իրավիճակ, որտեղ ոչ գծային բյուրեղի յուրաքանչյուր շերտից ճառագայթված $S\zeta g$ իմպուլսները բյուրեղի ելքային մակերևույթին կհասնեն միաժամանակ: Բյուրեղի ելքային մակերևույթի բոլոր մասերը կճառագայթեն համափուր ինչի շնորհիվ կստացվի արդյունավետ լայնաշերտ $S\zeta g$ ճառագայթում:



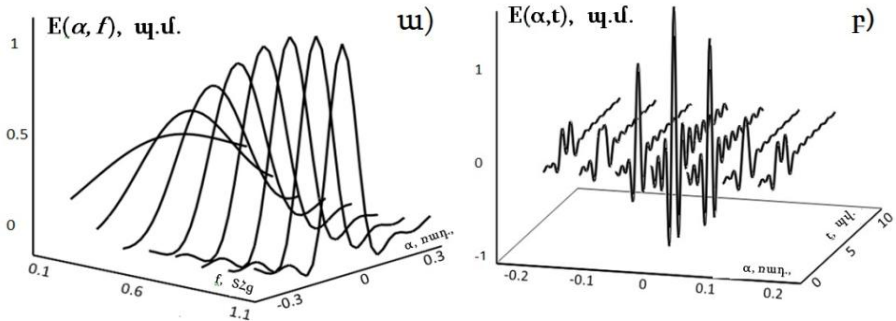
Նկ. 8 Աստիճանածն դիմակի սինեմատիկ պատկերը:

3.3 պարագրաֆում քննարկված է $S\zeta g$ իմպուլսների սպեկտրների անկյունային բաշխվածությունները և ժամանակային տեսքերը հեռու գոտում:

Նկ. 9-ում բերված են $S\zeta g$ իմպուլսների սպեկտրալ բաղադրիչների անկյունային բաշխվածությունները և ժամանակային տեսքերը հեռու գոտում: Հաշվարկները կատարվել են, ընդունելով, որ յուրաքանչյուր բջջից ճառագայթվում է սպեկտրի գառայան ($S(f) = \exp(f - 0.5)^2$) տեսքով $S\zeta g$ իմպուլս 0.5 $S\zeta g$ կենտրոնական հաճախությամբ, երբ դիմակի լայնական չափը $d = 1$ մմ է, իսկ աստիճանաձև դիմակի աստիճանների թիվը՝ $m = 40$:

Ինչպես և պետք էր սպասել, $S\zeta g$ ճառագայթման բարձրհաճախային սպեկտրալ բաղադրիչները կենտրոնացված են ոչ գծային բյուրեղի մակերևույթի նորմալի ուղղությամբ: Ուղղվածության դիագրամի բացվածքը 0.5 մակարդակի վրա, $f = 1$ $S\zeta g$ հաճախության դեպքում կազմում է մոտ 5°, իսկ ցածրհաճախային սպեկտրալ բաղադրիչները ճառագայթվում են ուղղվածության դիագրամի մեջ բացվածքով, ինչը բերում է $S\zeta g$ իմպուլսների ժամանակային տեսքի աղավաղման՝ կախված ճառագայթման ուղղությունից:

3.4 պարագրաֆում դիտարկվել է դիմակի աստիճանների քանակի փոփոխման ազդեցությունը $S\zeta g$ ճառագայթման պարամետրերի վրա:

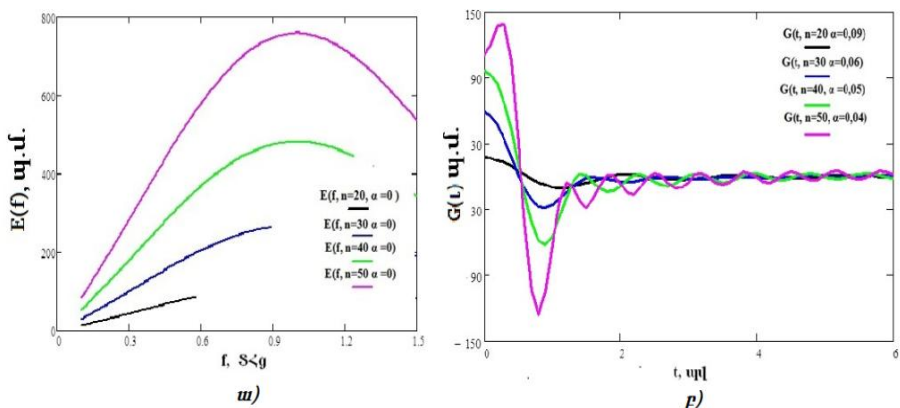


Նկ. 9 Գեներացված $S\zeta g$ իմպուլսների անկյունային բաշխվածությունը (ա) և ժամանակային տեսքը (բ) հեռու գոտում:

Քանի որ լայնաշերտ $S\zeta g$ ճառագայթման սպեկտրի վերին հաճախությունը պայմանավորված է դիմակի աստիճանների չափով, ապա ճառագայթման շերտի լայնացման համար անհրաժեշտ է հնարավորինս նվազեցնել աստիճանների քայլը (մեծացնել աստիճանների քանակը):

Սակայն աստիճանների քայլը պետք է էապես մեծ լինի լազերային ճառագայթման ալիքի երկարությունից, հակառակ դեպքում բյուրեղում օպտիկական փնջի դիֆրակցիայի հետևանքով կարող է խախտվել քվազիփուլահամաձայնեցման պայմանը:

Նկ. 10-ում պատկերված են 20, 30, 40 և 50 աստիճան և միևնույն՝ 1մմ հաստությունն ունեցող տարբեր դիմակների միջոցով գեներացված և ոչ գծային բյուրեղի ելքային մակերևոսի նորմալի ուղղությամբ ($\alpha=0$) առաքված $S\zeta g$ իմպուլսների սպեկտրները և ժամանակային տեսքերը ալիքային գոտում:



Նկ. 10 Գեներացված $S\zeta g$ իմպուլսների սպեկտրները (ա) և ժամանակային տեսքերը (բ)
հեռու գոտում, երբ $n=20, 30, 40$ և 50 :

Ինչպես և պետք էր սպասել, գրաֆիկներից երևում է, որ դիմակի աստիճանների թվի մեծացումը (աստիճանների չափերի փոփրացումը) բերում է $S\zeta g$ ճառագայթման սպեկտրալ լայնքի, հետևաբար նաև $S\zeta g$ դաշտի արժեքի աճին:

ՀԻՄՆԱԿԱՆ ԵԶՐԱԿԱՑՈՒԹՅՈՒՆՆԵՐ

1. Առաջին անգամ մշակվել է նեղերտ ՏՀց այիբների գեներացման նոր մեթոդ՝ հիմնաված միադոմեն լիթիում նիոբաթ բյութեղում ՕՌԻ-ի վրա: Բյութեղի մուտքում տեղադրվել է բինար փուլային դիմակ, որ թույլ է տվել ստանալ փուլահամաձայնեցնող համակարգ:
2. Փոփոխելով օպտիկական փնջի չափը՝ կարելի է ՏՀց ճառագայթման սպեկտրալ լայնքը փոփոխել 17 ԳՀց մինչև մի քանի ՏՀց տիրույթում:
3. Ստացվել է 0.4 - 1 ՏՀց տիրույթում հաճախության լարքավորմամբ ՏՀց ճառագայթում, բյութեղում դիմակի պատկերը կառուցելով տարբեր խոշորացումներով:
4. Տեսականորեն ցոյց է տրվել, որ օպտիկական ուղղման միջոցով ստացված ՏՀց ճառագայթման կենտրոնական հաճախությունը և առաքման ուղղությունը կարող են դեկավարվել՝ փոփոխելով ընկնող օպտիկական փնջի ուղղությունը:
5. Ուսումնասիրվել է լայնաշերտ ՏՀց ճառագայթման գեներացումը օպտիկական ուղղման միջոցով՝ միադոմեն լիթիումի նիոբաթ բյութեղում՝ համարված աստիճանածն դիմակով: Ցոյց է տրվել, որ ՏՀց հաճախությունների լայն տիրույթում իմպուլսի սպեկտրալ բաղադրիչների համար հնարավոր է ապահովել սինքրոնիզմի պայմանը:
6. Հաշվարկվել են լայնաշերտ ՏՀց իմպուլսների սպեկտրալ բաղադրիչների անկյունային բաշխվածությունը և ժամանակային տեսքերը: Ցոյց է տրվել, որ կարելի է ստանալ տարբեր ժամանակային տեսքերի ՏՀց իմպուլսներ՝ փոփոխելով աստիճանածն դիմակի աստիճանների թիվը:

Հղված գրականություն

1. Lee Y.-S., Principles of Terahertz Science and Technology (Springer, 2009).
2. Kawase K., Mizuno M., Sohma S., Takahashi H., Taniuchi T., Urata Y., Wada S., Tashiro H., Ito H., “Difference-frequency terahertz-wave generation from 4-dimethylamino N-methyl-4-stilbazolium-tosylate by use of an electrically tuned Ti:sapphire laser,” Opt. Lett. 24, 1065–1067 (1999).
3. Vodopyanov K. L., “Optical generation of narrow-band terahertz packets in periodically-inverted electro-optic crystals: conversion efficiency and optimal laser pulse format,” Opt. Express 14, No. 6, 2263-2276 (2006).

4. Lee Y.-S., Meade T., Perlin V., Winful H., Norris T. B, Galvanauskas A., "Generation of narrow-band terahertz radiation via optical rectification of femtosecond pulses in periodically poled lithium niobate" Appl. Phys. Lett. 76, 2505-2507 (2000).
5. Avetisyan Y. H., Sasaki Y., Ito H. "Analysis of THz-wave surface-emitted difference-frequency generation in periodically poled lithium niobate waveguide," Appl. Phys. B. 73, 511-514 (2001).
6. Yu. Avestisyan, C.Zhang, I. Kawayama, H. Murakami, T. Somekawa, H. Chosrowjan, M. Фужита, M. Tonouchi "Terahertz generation by optical rectification in lithium niobate crystal using a shadow mask" Optics Express Vol. 20, Issue 23, pp. 25752-25757 (2012).

Հրատարակված աշխատանքների ցուցակը

1. C. Zhang, Yu. Avetisyan, G. Abgaryan, I. Kawayama, H. Murakami, M. Tonouchi , "Tunable narrowband terahertz generation in lithium niobate crystals using a binary phase mask" Optics Letters, Vol. 38, Issue 6, pp. 953-955, (2013).
2. G. Abgaryan, "Frequency tunable THz-generation in periodically poled lithium niobate crystal" Proceedings of the Yerevan State University, № 2, p. 46–49 (2014).
3. G.K. Abgaryan, Yu.H. Avetisyan, A.H. Makaryan, V.R. Tadevosyan, "Broadband THz Generation in Lithium Niobate Crystal by Step-Wise Phase Mask", Proc. of int. conf. on "Microwave and THz Technologies and Applications", pp. 13-16, (2015).
4. Գ. Աբգարյան, "Դիէլեկտրիկ նյութերի պարամետրերի հետազոտումը տերահերցային տիրույթում" ԵՊՀ ՈՒԳԸ գիտական հոդվածների ժողովածու 1.2 (5), բնական գիտություններ, էջ 155-159, (2015).
5. Г.К. Абгарян , Ю.О. Аветисян, А.О. Макарян, В.Р. Татевосян, "Исследование параметров терагерцовых импульсов, генерируемых в однодоменном кристалле LiNbO₃ с помощью ступенчатой фазовой маски", Известия НАН Армении, Физика, т.51, №1, с.46-52 (2016).
- G. K. Abgaryan , Yu. H. Avetisyan, A. H. Makaryan, V. R. Tadevosyan, "Investigation of parameters of terahertz pulses generated in single-domain LiNbO₃ crystal by step-wise phase mask", J. of Contemporary Physics , Vol. 51, Issue 1, pp 35-40 (2016).

ГЕНЕРАЦИЯ ТЕРАГЕРЦОВОГО ИЗЛУЧЕНИЯ В КРИСТАЛЛЕ НИОБАТА ЛИТИЯ ДОПОЛНЕННОМ ОПТИЧЕСКОЙ МАСКОЙ

АННОТАЦИЯ

В настоящее время для генерации терагерцового (ТГц) излучения широко используется оптическое выпрямление фемтосекундных лазерных импульсов в нелинейных кристаллах. Для получения квазимонохроматических ТГц импульсов, в основном, используются периодически-поляризованные кристаллы ниобата лития (ППКНЛ). Однако в этом случае, частота генерации определяется пространственным периодом доменной структуры ППКНЛ, что затрудняет осуществление частотной перестройки генерируемого ТГц излучения. Кроме того, поперечные размеры ППКНЛ ограничиваются технологией их изготовления, что препятствует использованию широко-апертурных лазерных пучков высокой мощности.

В работе, впервые, для преодоления этих недостатков предлагается создать пространственно-периодическую структуру в монодоменном кристалле ниобата лития путем расположения перед ним оптической маски. Как теневая, так и бинарная фазовая маски позволяют генерировать квазимонохроматическое ТГц излучение на частотах, определяемых пространственным периодом масок. Для изменения частоты генерации строится изображение оптической маски в нелинейном кристалле и путем изменения увеличения изображения осуществляется частотная перестройка ТГц излучения.

Существует ряд приложений, где применение широкополосного ТГц излучения (так называемые ТГц-импульсы) более целесообразно, чем квазимонохроматического ТГц излучения. В работе исследована возможность ступенчатой фазовой маски (СФМ) для генерации широкополосного ТГц излучения при оптическом выпрямлении фемтосекундных лазерных импульсов в монодоменном кристалле ниобата лития.

Показано, что СФМ позволяет обеспечить пространственный синхронизм нелинейного взаимодействия в широком диапазоне ТГц частот, что приводит к эффективной генерации ТГц-импульсов.

Исследовано угловое распределение спектральных компонент, а также временная форма терагерцовых импульсов в волновой дальней зоне.

Основные результаты работы:

1. Показано, что перестройку частоты квазимохроматического ТГц излучения, полученного с помощью оптического выпрямления фемтосекундных лазерных импульсов в ППКЛН можно осуществить изменением направления возбуждающего лазерного пучка. Изменение направления возбуждающего пучка приводит также к изменению направления ТГц излучения.
2. Впервые разработан новый метод для получения квазимохроматического ТГц излучения при оптическом выпрямлении лазерного излучения в монодоменном кристалле ниабата лития с помощью бинарной фазовой маски.
3. Показано, что спектральную ширину ТГц излучения можно перестраивать в пределах от 17 ГГц до нескольких ТГц, изменением поперечного размера оптического пучка.
4. Получено ТГц излучение, перестраиваемое в пределах 0.4-1 ТГц, изменением увеличения изображения маски в нелинейном кристалле.
5. Показано, что можно генерировать широкополосное терагерцовое излучение с помощью оптического выпрямления фемтосекундных лазерных импульсов в монодоменном кристалле ниобата лития, оснащенном СФМ. Показано, что с помощью СФМ можно обеспечить пространственный синхронизм для спектральных компонент терагерцового импульса в широкой полосе частот, обеспечивая тем самым, эффективное преобразование лазерного излучения в терагерцовый диапазон.
6. Рассчитаны угловое распределение спектральных компонент широкополосного ТГц излучения и временные формы терагерцовых импульсов. Показано, что можно получить ТГц импульсы различных временных форм путем изменения количества ступеней СФМ.

GENERATION OF TERAHERTZ RADIATION IN THE LITHIUM NIOBATE CRYSTAL WITH OPTICAL MASKS.

ANNOTATION

The terahertz (THz) band ($\sim 0.1 - 10$ THz) has recently drawn much attention due to its potential for both fundamental physics and increasingly larger variety of applications. However, the applicability of THz sources is still critically dependent on the power available with current technology, which has prompted much research in developing compact table-top THz sources.

At present the optical rectification (OR) of femtosecond laser pulses in nonlinear crystal is the widely used method to generate the THz radiation. The periodically poled lithium niobate (PPLN) crystal is mainly used to obtain quasi-monochromatic THz radiation. However, the frequency of THz radiation is predetermined by the spatial period of the PPLN domain structure and therefore it cannot be changed after the sample preparation. In addition, cross-section dimensions of PPLN crystals are limited by fabrication technology, which prevents to use the wide-aperture laser beams delivered by powerful femtosecond sources.

In present work to overcome these problems to create a specially periodic nonlinear structure in single-domain lithium niobate crystal by placing optical mask in front of the crystal. Both the shadow and the binary phase masks (PM) provide the generation of quasi-monochromatic THz radiation at frequency, which is determined by special period of the masks. For changing the frequency of THz generation image of the mask is built in nonlinear crystal. We obtain the opportunity to tune THz generation frequency by changing the magnification of the image.

There are a number of applications where the use of broadband THz radiation (so-called THz pulses) is more appropriate than narrowband THz radiation. For this reason we have studied using of stepwise phase mask (SPM) for the generation of broadband THz radiation by the OR of femtosecond laser pulses in the single-domain lithium niobate crystal. It is shown that the SPM provides the phase matching of the nonlinear interaction in the wide range of THz frequency, resulting in efficient generation of THz-pulses.

The angular distribution of spectral components, as well as the temporal shape of THz pulses in the far-field region were investigated.

The following main results where obtained in the thesis:

1. It is shown that frequency of quasi-monochromatic THz waves generated by OR in PPLN crystal can be tuned by changing the propagation direction of laser beam in crystal. When the incidence angle of optical beam changes from -50 ° to 50 ° degrees, the central frequency of the generated THz radiation is varied in the range from 0.77 THz to 0.93 THz. In this case the direction of THz waves propagation is changing in relatively small region from -10° to 10° degrees.
2. A new scheme of narrowband THz generation by OR in the lithium niobate crystal by using the PM is presented. It is shown that illumination of the a single-domain lithium niobate crystal by spatio-temporal shaped fs-laser pulses is equivalent to formation of quasi-phase-matching (QPM) structure, which results in generation of the narrowband THz waves.
3. It is shown that linewidth of quasi-monochromatic THz waves can be tuned from 17 GHz to a few THz by changing optical beam size on the crystal from 4,5 mm to a few tens of micron.
4. The frequency of generation is tuned in the range of 0.42 - 1.0 THz by building images of the mask in the crystal with various magnifications from 1 to 0.4.
5. New method for efficient generation of THz pulses by OR in the single-domain lithium niobate crystal is presented. It is based on using the SPM, which provides the phase matching of the nonlinear interaction in the wide range of THz frequencies and therefore, results in efficient generation of THz pulses.
6. The angular distribution of the spectral components and the temporal form of THz pulses in the far-field region were investigated. It is shown that the different temporal forms of THz pulses can be obtained by changing number of steps of the SPM.